

УДК 66.05+66-936.5

ХИМИЧЕСКАЯ ТЕХНОЛОГИЯ

Член-корреспондент АН СССР В. В. КАФАРОВ, В. А. КЛИПИНИЦЕР,  
В. П. ВОРОБЬЕВ

**РАСЧЕТ ДИНАМИКИ СИСТЕМ, ОПИСЫВАЕМЫХ ЯЧЕЕЧНЫМИ  
МОДЕЛЯМИ, ДЛЯ СЛУЧАЯ НЕИЗОТЕРМИЧЕСКИХ РЕАКЦИЙ  
ПРОИЗВОЛЬНОЙ СЛОЖНОСТИ**

Ранее показана возможность применения математического аппарата цепей Маркова для расчета гидродинамики<sup>(1)</sup>, изотермических реакторов для реакции произвольной сложности<sup>(2, 3)</sup>. Рассмотрим возможность полного расчета химического реактора — с учетом неизотермических условий в объеме реактора и теплообменника — динамики изменения тепла и концентрации на выходе.

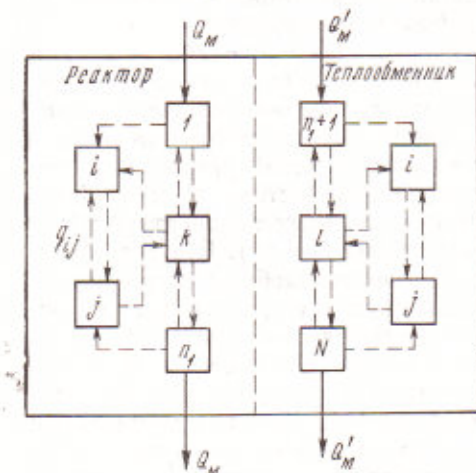


Рис. 1. Модель материальных (концентрационных) потоков ( $Q_M$ ,  $Q_M'$  — входные и выходные потоки вещества реактора и теплообменника соответственно)

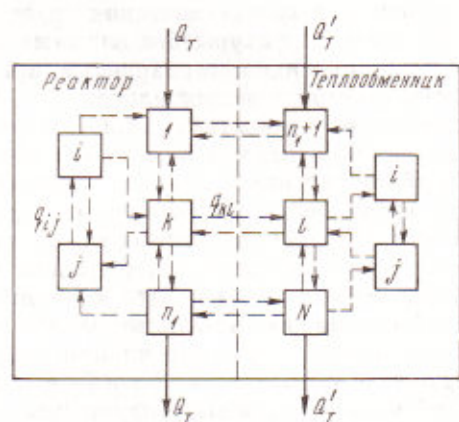


Рис. 2. Модель тепловых потоков ( $Q_T$ ,  $Q_T'$  — входные и выходные потоки тепла реактора и теплообменника соответственно)

Представим отдельно движение материального и теплового потоков. Как и в<sup>(1-3)</sup> объемы реактора и теплообменника представим в виде произвольных топологических структур из ячеек с пуссоновским распределением вещества (рис. 1) и тепла (рис. 2) соответственно. Для наглядности примем, что в объеме реактора имеет место одна реакция произвольной сложности

$$dC/d\tau = -f(C, \theta), \quad (1)$$

а в объем теплообменника реакция нулевого порядка с нулевой скоростью

$$dC/d\tau = 0, \quad (2)$$

где  $C$  — концентрация исходного вещества;  $\theta$  — температура.

Примем также, что топологическая структура, представляющая модель движения вещества (реакционной массы и теплоносителя), имеет

постоянные во времени потоки, т. е.  $q_{ij} = \text{const}$ . Пронумеруем в произвольном порядке ячейки модели реактора от 1 до  $n_1$ , а ячейки модели теплообменника от  $n_1 + 1$  до  $N$ ; присвоим произвольной ячейке индекс  $i = 0, 1, 2, \dots, N$ , где 0 — вход системы. Тогда в каждый момент времени  $n\Delta t$ , где  $n$  — число переходов, а  $\Delta t$  — интервал времени между двумя переходами, состояние системы (концентрация в каждой точке реактора и теплообменника) можно представить вектором  $C(n)$  с координатами  $c_i(n)$  — вероятностью заполнения  $i$ -й ячейки исходным веществом в момент времени  $n\Delta t$  с учетом проходящей в ней реакции <sup>(1)</sup> при изотермических условиях — задача цепей Маркова с непрерывным источником. Тогда движение вещества с учетом химической реакции будет выражаться рекуррентным соотношением:

$$C(n+1) = K(C(n), \Delta t) P_M, \quad (3)$$

где  $K(C(n), \Delta t)$  — вектор с элементами  $k_i(c_i(n), \Delta t)$  — интегралом уравнения (1) для ячеек с номером  $i = 1, 2, \dots, n_1$ , и интегралом уравнения (2) для ячеек с номером  $i = n_1 + 1, n_1 + 2, \dots, N$  в пределах от  $n\Delta t$  до  $(n+1)\Delta t$  и значениях  $c = c_i(n)$ ;  $P_M$  — приводимая стохастическая матрица, которая может быть записана в виде блочной матрицы

$$P_M = \begin{vmatrix} P_{M_1} & 0 \\ 0 & P_{M_2} \end{vmatrix} \quad (4)$$

с элементами  $P_{M_1}$  и  $P_{M_2}$  — стохастическими матрицами вероятностей перехода вещества в реакторе и в теплообменнике соответственно, элементы которых находятся по известным соотношениям <sup>(1)</sup>. Вектор  $C(0)$ , отражающий соотношение входных потоков в реактор и теплообменник, и матрица  $P_M$  полностью определяют поведение материальных потоков для реактора и теплообменника.

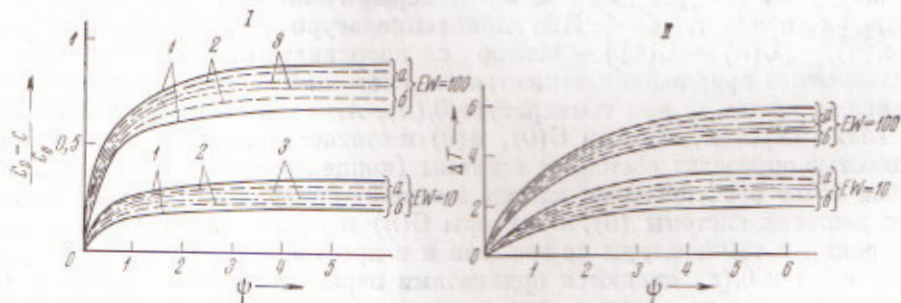


Рис. 3. Динамика изменения концентрации (I) и температуры (II) на выходе реактора для различных скоростей мешалки и величины  $\beta_0\phi = 1$  ( $a$  — вход в циркуляционный контур;  $b$  — вход в зону мешалки).  $1 - R = 1$ ,  $2 - R = 5$ ,  $3 - R = 20$ ;  $\psi$  — среднее время пребывания

Примем, что модели движения вещества и тепла соответствуют друг другу качественно с учетом тепловых потоков  $q_{hi}$  между моделью реактора и теплообменника (теплообмен), т. е. при наложении друг на друга они совпадут по ячейкам. Тогда динамика движения тепла без учета теплового эффекта реакции будет определяться рекуррентным

$$\theta(n+1) = \theta(n) P_T, \quad (5)$$

где  $\theta(n)$  — вектор с элементами  $\theta_i(n)$  — вероятностью повышения температуры  $i$ -й ячейки в момент времени  $n\Delta t$ ;  $P_T$  — неприводимая стохастическая матрица вероятностей перехода тепла в системе, элементы которой находятся согласно <sup>(2)</sup>.

Теперь пусть химическая реакция в объеме реактора идет с тепловым эффектом  $\pm W$  на единицу превращенного исходного вещества, со зна-

ком плюс для экзотермической и со знаком минус — для эндотермической реакции. Рассмотрим движение вещества и тепла в случае подачи добавочного количества тепла в теплообменник. Будем считать каждую ячейку модели реактора в течение времени  $\Delta\tau$  как периодический реактор, а приращение тепла за счет химической реакции пропорционально приращению вещества и обратно пропорционально теплоемкости соответствующей ячейки. Тогда состояние системы будем определяться векторами  $C(n)$  и  $\theta(n)$  с координатами  $c_i(n)$  — концентрацией и  $\theta_i(n)$  — температурой в  $i$ -й ячейке в момент времени  $n\Delta\tau$ , которые получаются из системы рекуррентных уравнений, составленных из (3) и (5) с учетом неизотермичности реактора:

$$\begin{cases} C(1) = L(C(0), \theta(0), \Delta\tau) P_M \\ \theta(1) = \theta(0) P_T + \frac{W}{A} [L(0) - C(0)] \\ C(2) = L(C(1), \theta(1), \Delta\tau) P_M \\ \theta(2) = \theta(1) P_T + \frac{W}{A} [L(1) - C(1)] \\ \dots \\ \dots \\ C(n+1) = L(C(n), \theta(n), \Delta\tau) P_M \\ \theta(n+1) = \theta(n) P_T + \frac{W}{A} [L(n) - C(n)] \end{cases} \quad (6)$$

где  $L(C(n), \theta(n), \Delta\tau)$  — вектор с элементами  $l_i(c_i(n), \theta_i(n), \Delta\tau)$  — интегралом уравнения (1) для ячеек с номером  $i = 1, 2, \dots, n_1$  и интегралом уравнения (2) для ячеек с номером  $i = n_1 + 1, n_1 + 2, \dots, N$  в пределах от  $n\Delta\tau$  до  $(n+1)\Delta\tau$  при температуре  $\theta_i(n)$  и значении  $c = c_i(n)$ ;  $[L(n) - C(n)]$  — вектор с координатами  $[l_i(n) - c_i(n)]$  — вероятностью приращения вещества за счет химической реакции в  $i$ -й ячейке за время  $\Delta\tau$  при температуре  $\theta_i(n)$ ,  $A_i$  — теплоемкость  $i$ -й ячейки.

Таким образом, векторы  $C(0), \theta(0)$  и стохастические матрицы  $P_M, P_T$  полностью определяют состояние системы (концентрацию и температуру) в любой точке реактора и на выходе в момент времени  $n\Delta\tau$  путем  $n$ -кратного решения системы (6), а векторы  $C(n)$  и  $\theta(n)$  — распределение концентрации и температуры во времени и в пространстве. Координаты векторов  $c_i(n)$  и  $\theta_i(n)$  являются ординатами переходной кривой отклика  $i$ -й ячейки реактора на сложное тепловое и концентрационное возмущение на входе;  $c_{n_1}(n)$  и  $\theta_{n_1}(n)$  — то же самое для всего реактора,  $c_N(n)$  и  $\theta_N(n)$  — для теплообменника. Таким образом, имеем полную динамику реактора и теплообменника по температуре и концентрации.

На рис. 3 представлена динамика емкостного реактора с мешалкой и теплообменником в виде рубашки с равными объемами в случае применения модели Ван-дер-Вусса (4) для реакционного объема и модели идеального смешения для теплообменника, и экзотермической реакции с тепловым эффектом  $W$  и энергией активации  $E$

$$dC/d\tau = -\beta C, \quad \text{или} \quad dC/dt = -\beta_0 \exp(-E/RT) C, \quad (7)$$

где  $\beta$  — константа скорости реакции. Система уравнений (6)

$$\begin{aligned} c_i(n+1) &= \sum_{j=1}^7 p_{Mji} \exp \left[ -\Delta\tau \beta_0 \exp \left( -\frac{E}{R(T+\theta_j(n))} \right) \right] c_j(n); \quad c_7(n+1) = \\ &= \sum_{j=1}^7 p_{Mj7} c_j(n), \end{aligned} \quad (8)$$

$$\theta_i(n+1) = \sum_{j=1}^7 p_{Tji} \theta_j(n) + \frac{W}{A_j} \left[ 1 - \exp \left( -\Delta t \beta_0 \exp \left( -\frac{E}{R(T+\theta_j(n))} \right) \right) \right];$$

$$\theta_7(n+1) = \sum_{j=1}^7 p_{Tji} \theta_j(n) \quad (i = 1, 2, \dots, 8),$$

где  $p_{Mji}$  и  $p_{Tji}$  — элементы стохастических матриц  $P_M$  и  $P_T$  соответственно. Решая систему (8) последовательно для  $n = 1, 2, \dots$ , получим ординаты динамики концентрации  $c_i(n)$  на выходе реактора и динамики температуры на выходе реактора  $\theta_i(n)$  и теплообменника  $\theta_7(n)$ . На представленных графиках для двух положений входа и различных  $R$  (отношения циркуляционного потока к входному), видно, что положение входа влияет на динамику реактора при небольших  $R$  и значительных величинах произведения  $EW$ . Влияние уменьшается при увеличении интенсивности перемешивания ( $R$ ) и уменьшении  $EW$ , т. е. реактор менее устойчив при больших  $EW$  и вводе исходного реагента в зону мешалки.

Предложенная методика с помощью простого алгоритма — итерационного параллельного умножения вектора на матрицу — позволяет получить динамику химического реактора по концентрации и температуре в случае сложного возмущения на входе — по концентрации и температуре.

Научно-исследовательский институт  
органических полупродуктов и красителей  
Москва

Поступило  
12 III 1974

#### ЦИТИРОВАННАЯ ЛИТЕРАТУРА

- <sup>1</sup> В. В. Кафаров, В. А. Клинициер, А. А. Дудоров, Теоретич. основы хим. технол., 2, 5, 793 (1968). <sup>2</sup> В. В. Кафаров, В. А. Клинициер, ДАН, 188, № 4, 861 (1969). <sup>3</sup> В. В. Кафаров, В. А. Клинициер, А. А. Дудоров, Теоретич. основы хим. технол., 5, 1, 153 (1971). <sup>4</sup> I. G. Van der Vusse, Chem. Eng. Sci., 17, 507 (1962).